

FIG 1a

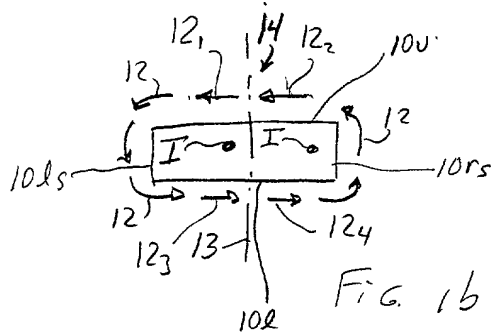


FIG 1b

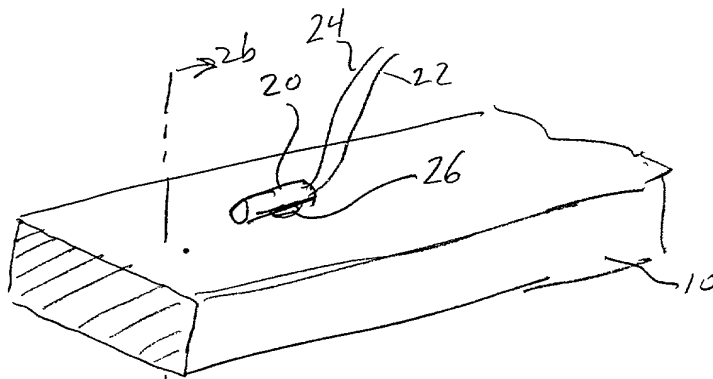
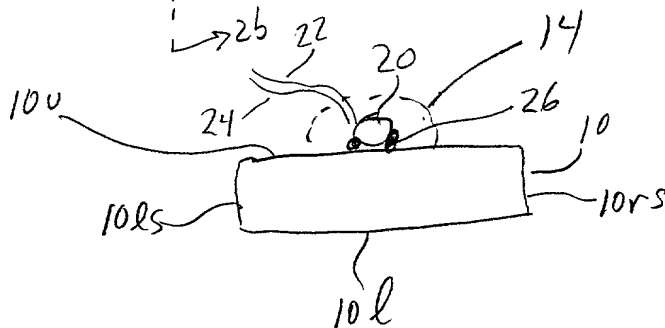


FIG 2a



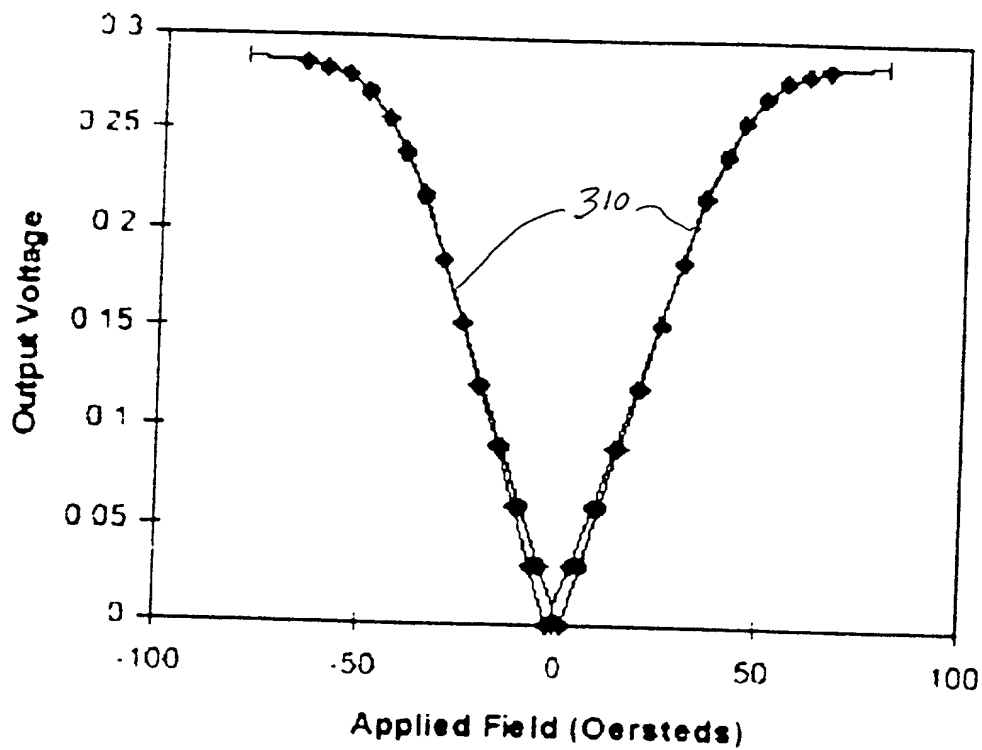


Fig. 3

GE-07020

Berkman et al

Sheet 2 of 8

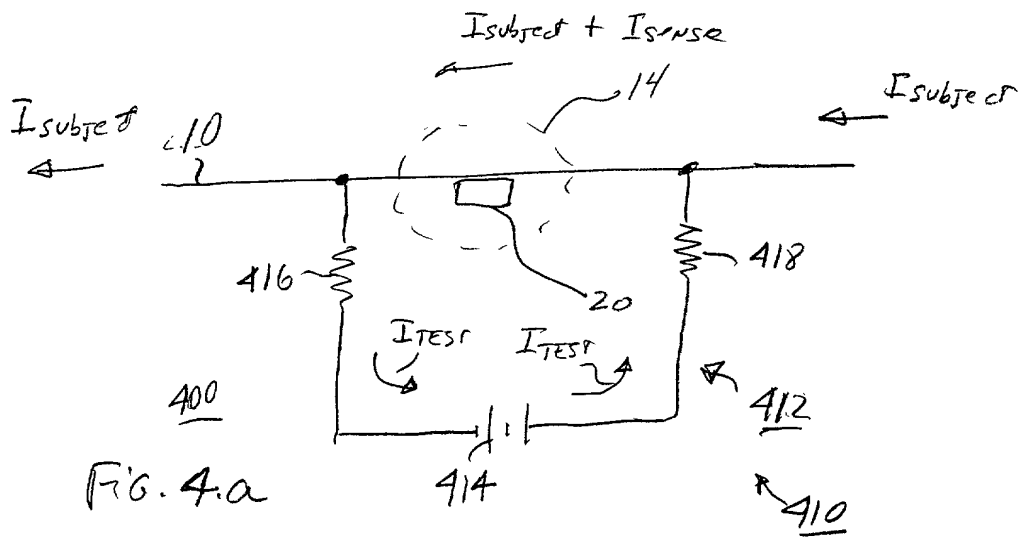


FIG. 4a

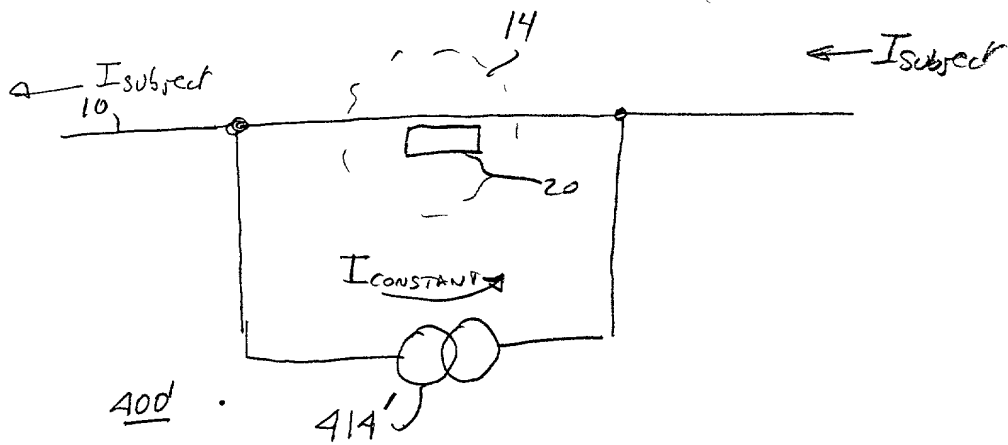
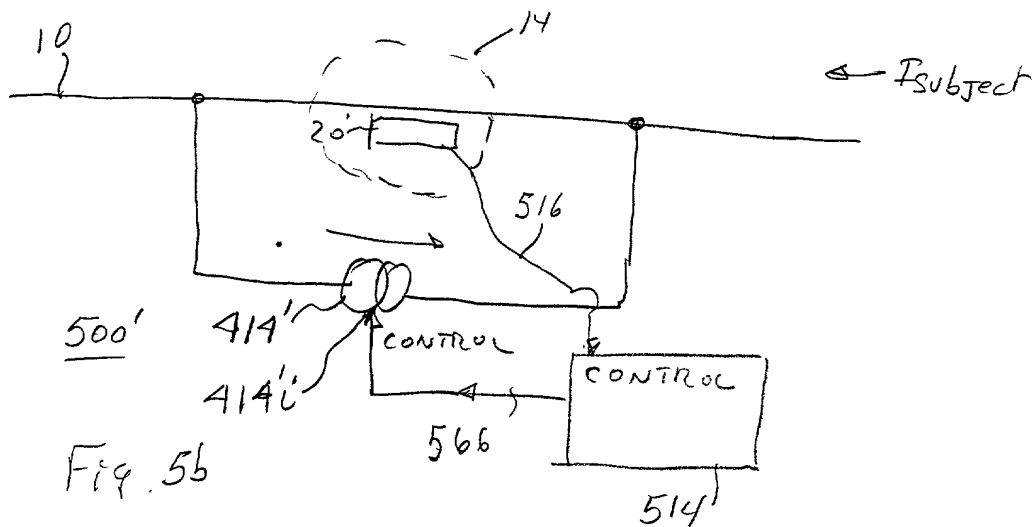
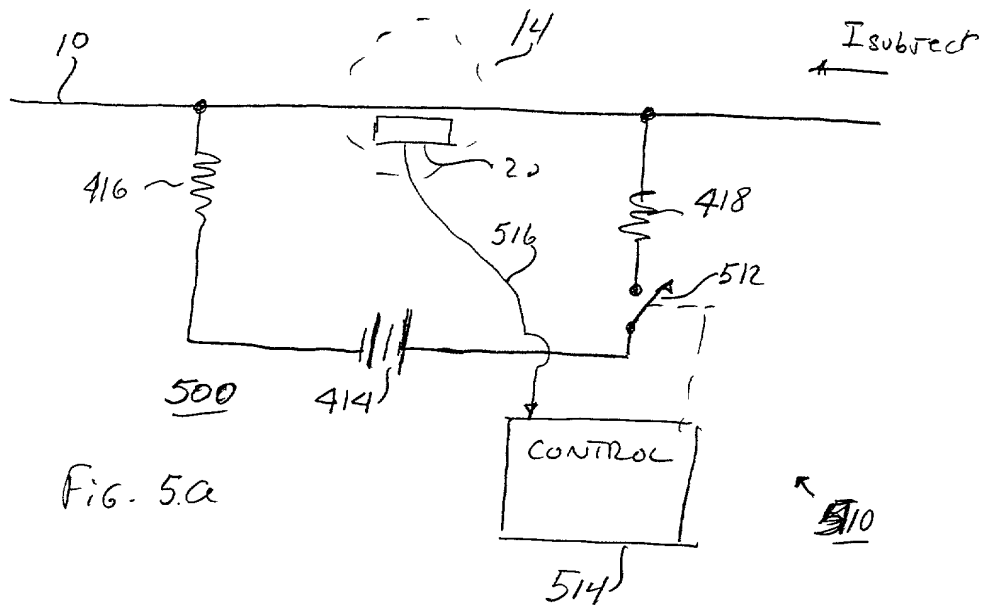


FIG. 4b

GE-07020  
 Berkman et al  
 Sheet 3 of 8



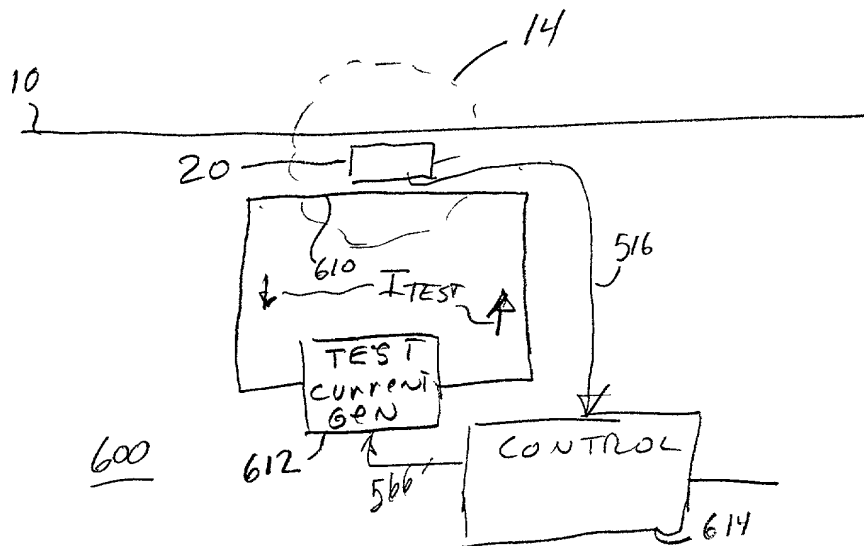


FIG. 6a

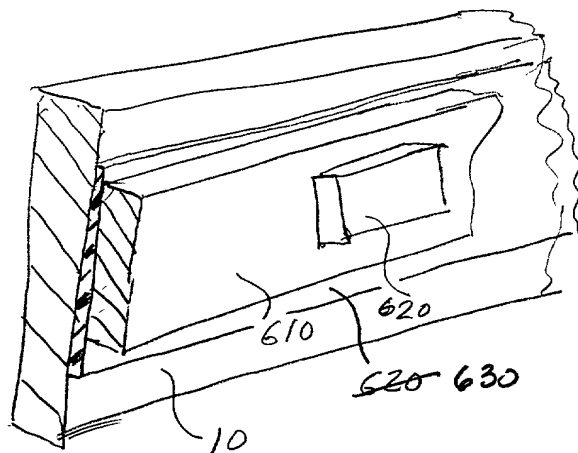


FIG. 6b

9B

FIG. 7a

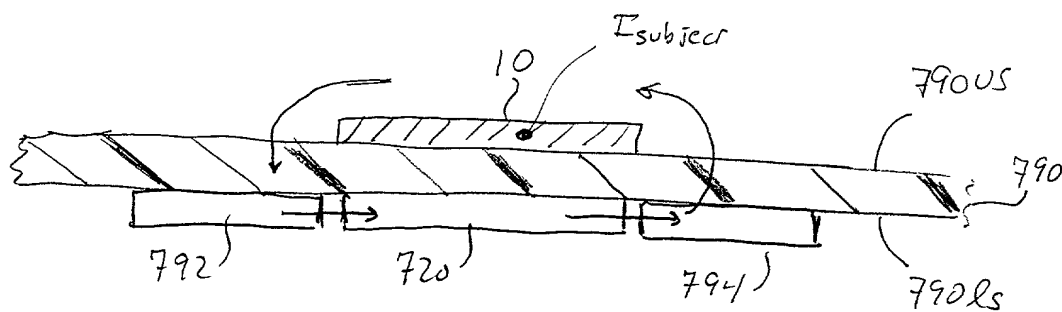
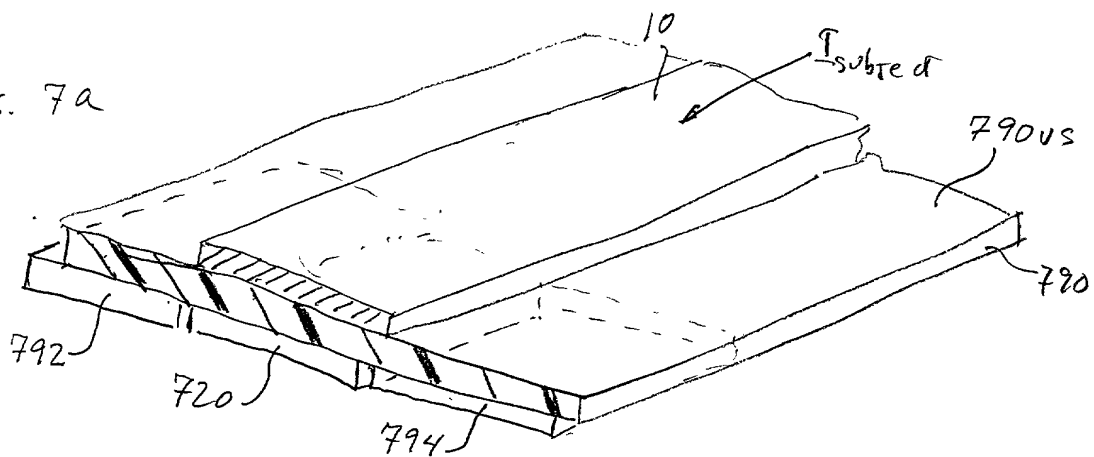


FIG. 7b

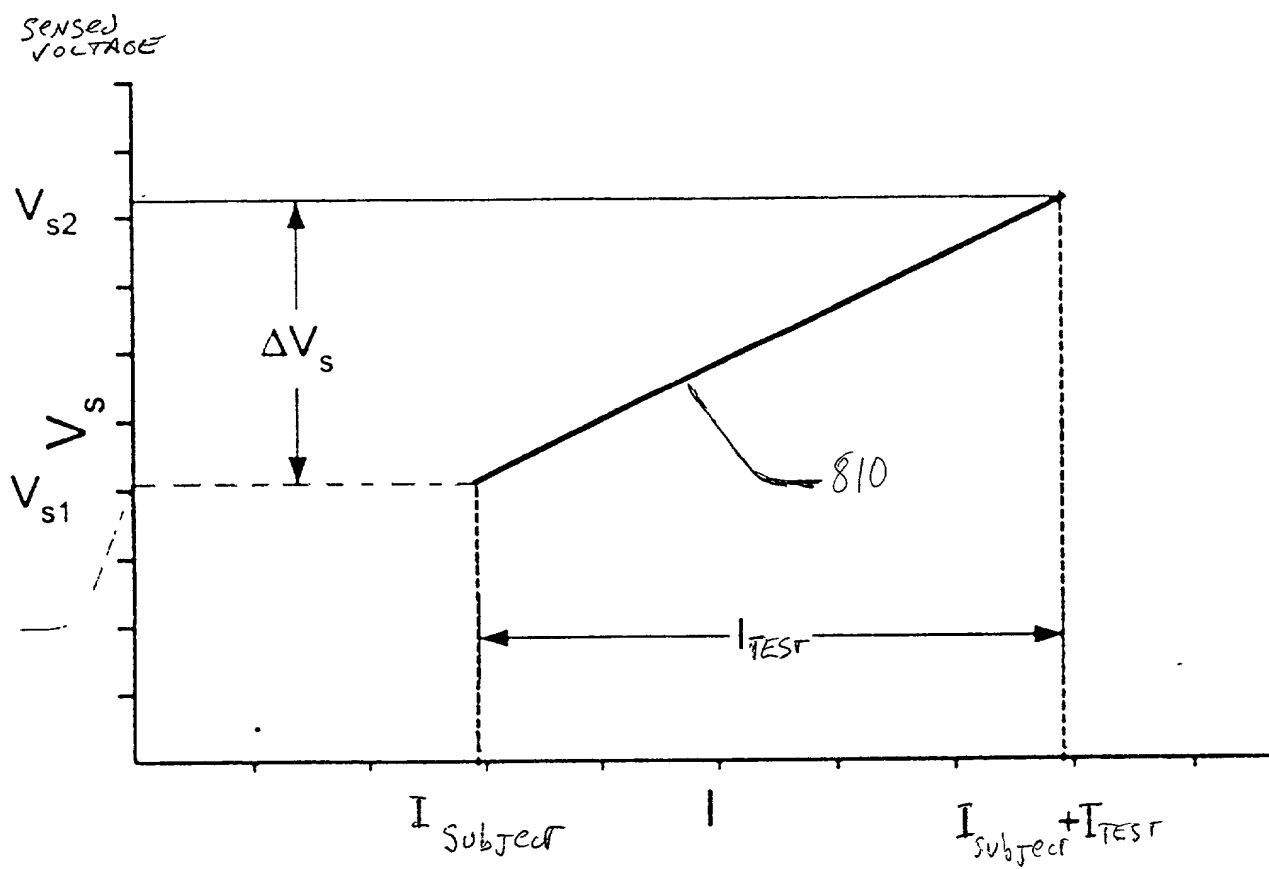


Fig. 8

GE-07020  
 Berkman et al  
 sheet 7 of 8

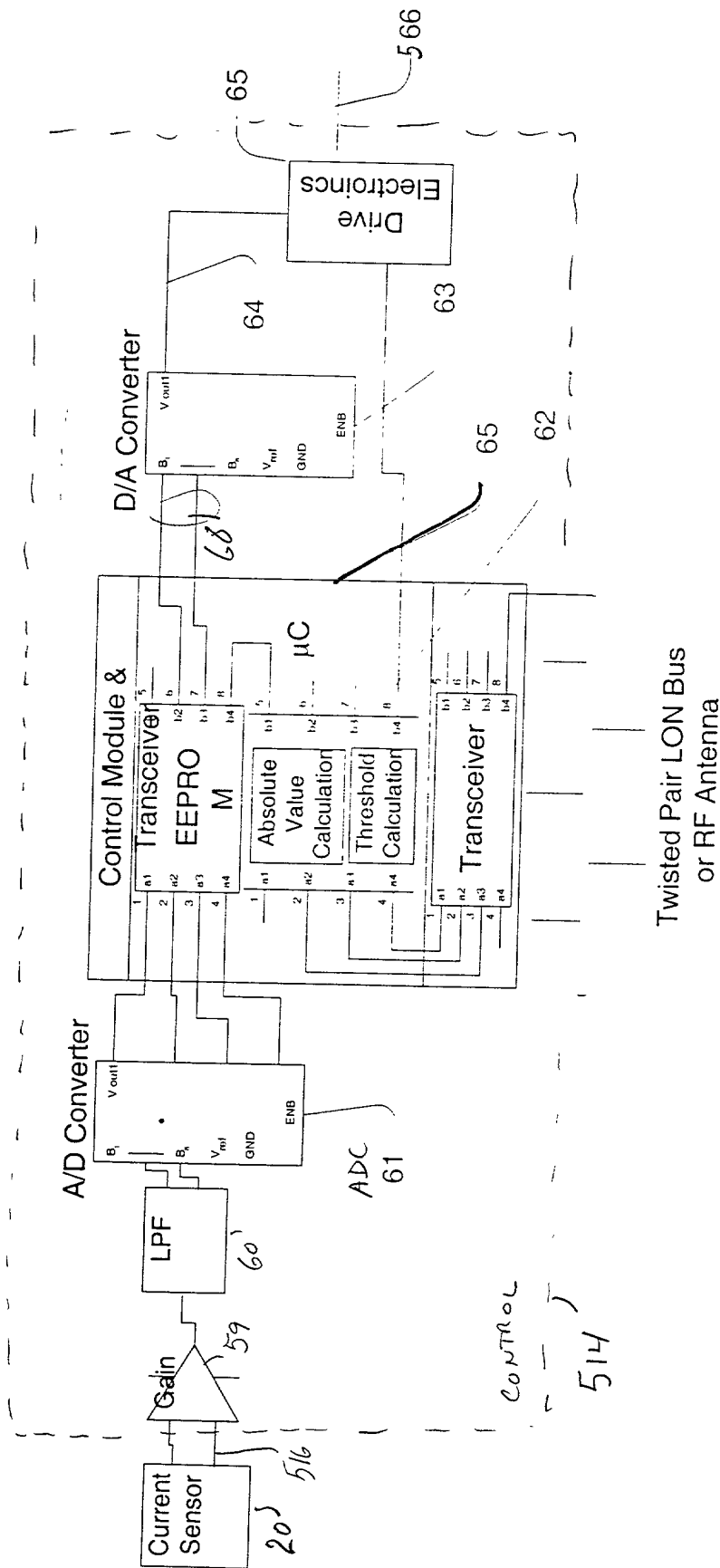


Fig. 9

GE 7020  
Berhan et al  
sheet 8 of 8